

岸壁の地震時安定計算

九州大学 工博 松尾春雄
山口大学 ○大原賀生

1. 地震時、岸壁に作用する土圧及び水圧について現在までに行なわれた研究による新しい計算法を発表し、関係者各位の御検討を願うものである。
2. 重力式繋船岸壁の設計にともべて地震時土圧及び水圧は裏込の性質や状態によって二つの場合に分けて考る。すなわち、① 粒度及び透水係数が大である場合には裏込は地震をうけた時に大体、初めの状態を保ち、間隙水は土の粒子間で自由に運動し得るので、動水圧は壁体前面の減少水圧と背面の増加水圧との両者を考え、その値は各々に Westergard 式となる。この背面の増加水圧の存在は実験で確かめられ、透水係数の大きい場合は Westergard 式の計算値にはば一致する結果を得て(1)。^D
又、振動土圧は裏込で弾性常数が深さにより変化する彈性体と考えた場合の計算値(図-1, 2)となる。図-1, 2 は先に発表した計算法で実際岸壁の場合の計算を行って得た图表で、この計算値と模型実験値とはかなりよく一致する。^E ② 粒度、及び透水係数が小である地震時、裏込土が流動状態となり易い場合、すなわち、軟弱地盤に打込まれて矢板岸壁の様に背面が直接粘土やシルトに接している場合には背面土の流動状態での圧力と壁前面の減少水圧とを考える。背面の流動状態にひつて土の圧力は比重の大きな流体と考えて Westergard 式の値となる。この場合には背面の増加水圧、振動土圧は考へない。
3. ①による計算と在来の計算による結果を比較すると表の様になる。但し表の計算値は載荷量のない場合で震度 0.2、土の単位重量は 1.6(水中 1.0)、内部マリヤ角は 35°(水中 30°) とし、水位は H.W.L. にとった。
4. 以上、地震時岸壁の安全計算にともべて力の大略について述べたのであるが、この他に先に報告した様に「ゆり込み土圧」及び振動初期に生ずる「急激な水圧上昇」があるが、これらは現在研究中でまだ明確なことはわからぬ。「ゆり込み土圧」はかなり繊細な裏込では考へなくてよいが、繊細でない裏込では一層、設計示方要覽に従うこととする。
「急激な水圧上昇」は前報告にある様に玉砂利の様な透水係数の大きい裏込、及び充分に沈定した砂では生じないが、裏込割合の多い多くの岸壁の場合には考へなくてよいと思う。

又、図-1, 2 は共振と考へない場合の計算値であり、理論的には共振の場合の土圧は図-1, 2 の何倍かの値となる。この点については研究中であるが、図-3 の様に壁全高 15m、裏込弾性常数は図-1 の③とした場合の土圧の共振曲線(実線)は單振子の共振曲線(破線)には近似するので、この問題を單振子にみると変えて考へれば、比較的簡単に、その際に生ずる土圧は図-1, 2 の値の何倍程度のものであると言ふことがわかると思う。この場合の減衰係数は種々解析した結果、0.05 程度と考えられる。

参照 ① 松尾、大原; 「裏込間隙水による動水圧」 土木学会論文集 38 号

② 大原 : 「岸壁に作用する地震時土圧(續)」 九大工学集報 30 卷 1 号

③ 松尾、大原; 「地震時岸壁に作用する振動土圧について」 九大工学集報 31 卷 1 号
(投稿中)

④ 松尾、大原; ①に全く

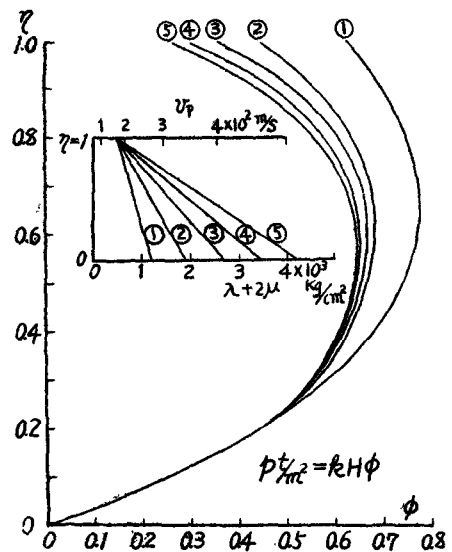


図-1. 地震時増加土圧(振動土圧)分布

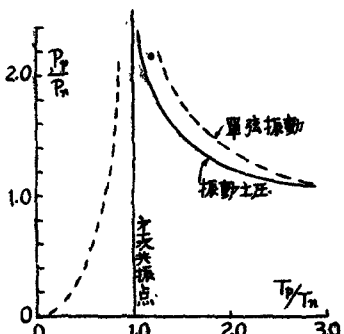


図-3 共振曲線

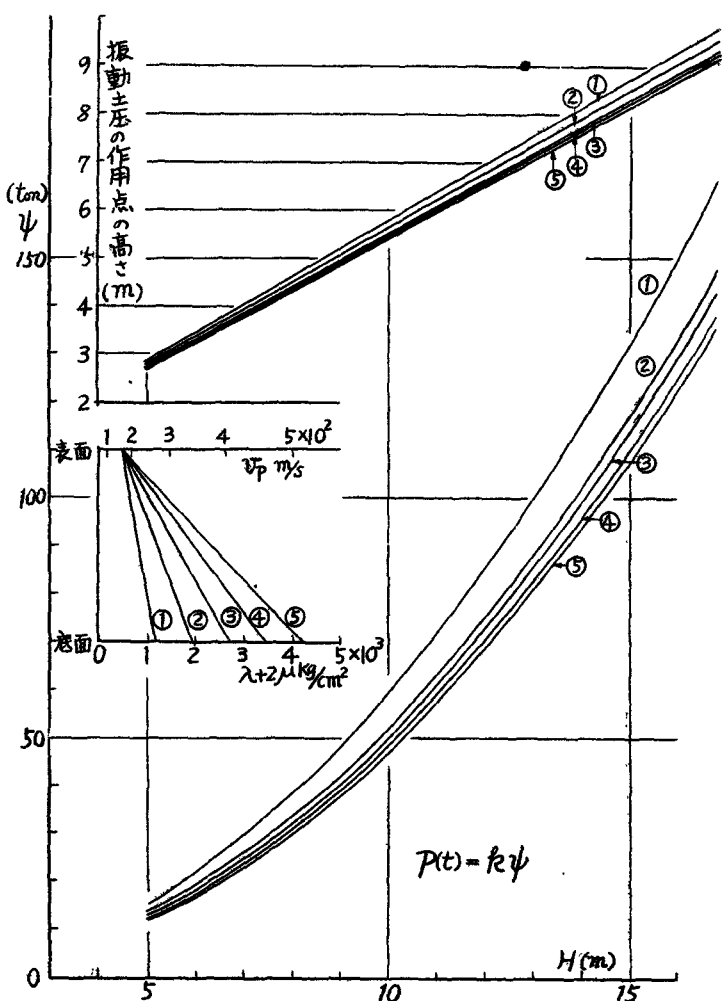


図-2. 地震時増加土圧合力及び作用点と岸壁全高との関係

神戸港 方塊岸壁	物部式		示方要覽		新		備考
	P/t_m	M t-m	P	M	P	M	
静土圧 P_0	10.8	29.9	10.8	29.9	10.8	29.9	H=7.90 水深
地震時増加土圧 P_d	10.8	28.9	3.6	19.7	6.4	28.8	
動水圧 P_w	0	4.9	0	12.8	5.8	15.9	9.9
合計	21.6	265	58.8	71.6	20.2	65.5	27.1
							岸壁全高 H=7.90
							水深 f_i=-4.8
							水位 HWL =+1.67

横浜港	物部式		示方		新		備考	
	P/t_m	M t-m	P	M	P	M		
面圧	P_0	19.7	73.6	19.7	73.6	19.7	73.6	H=10.9 f_i=-7.6
P_d	18.1	66.8	3.6	28.9	11.6	68.5		HWL =+1.6
P_w	0	9.4	0	33	10.3	58.5	18.8	
合計	37.8	47.2	14.0	173.4	33.6	141.0	50.1	208.1

博多港	物部式		示方		新		備考	
	P/t_m	M t-m	P	M	P	M		
面圧	P_0	23.1	95.0	23.1	95.0	23.1	95.0	H=11.9 f_i=-8.4
P_d	22.9	93.6	3.6	34.1	15.0	102.0		HWL =+2.23
P_w	0	13.2	0	56.3	14.5	64.4	26.4	
合計	46.0	59.2	188.6	244.9	41.2	193.5	64.5	309.6